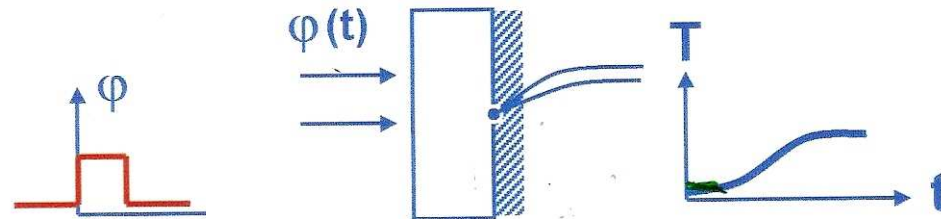


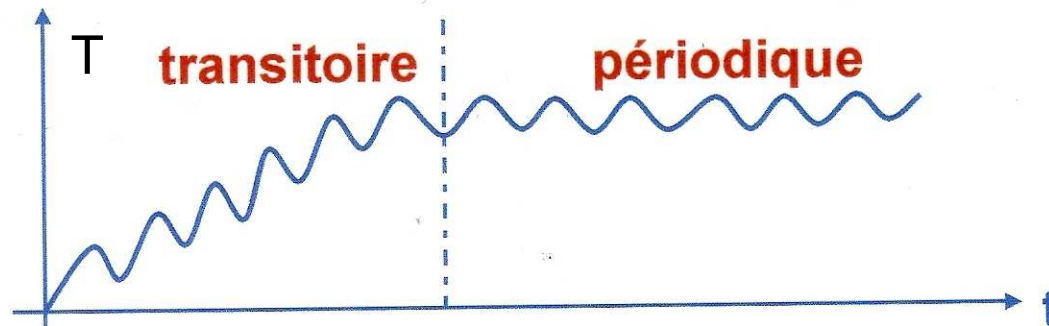
RÉGIMES INSTATIONNAIRES

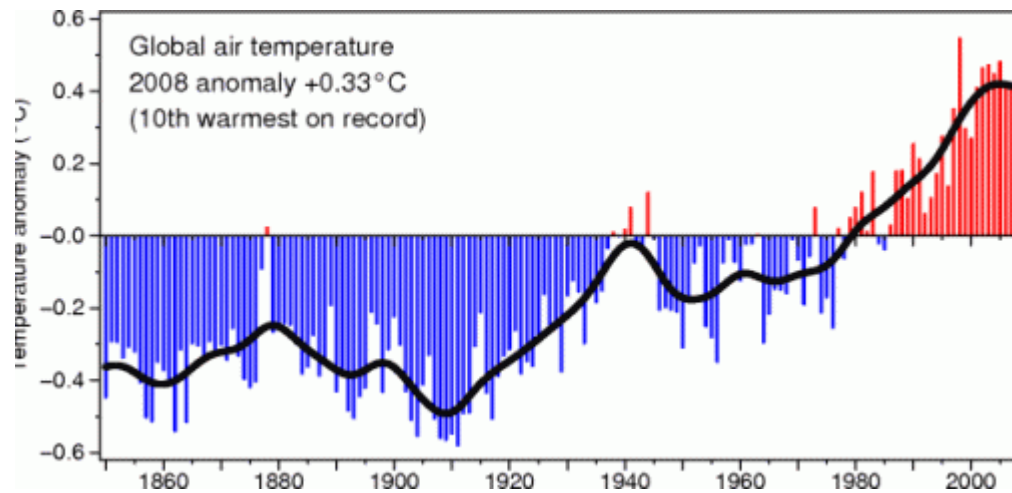
Cette leçon aborde les régimes variables, et considère des systèmes où les températures vont évoluer au cours du temps

Mur soumis
à un bref
flux

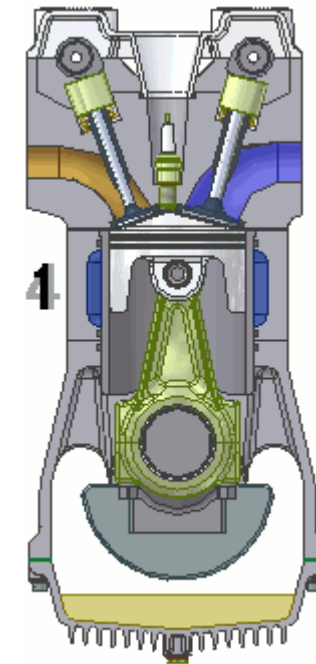


Mise sous
tension d'un
transistor





Histoire thermique de la terre



Thermique dans un Moteur

Idée de l'inertie



I – Problèmes 1D

Mur semi infini

Mur fini et autres géométries

Modalités d'extension au 3D

Résistance interne négligeable

Solutions
analytiques

II – Problèmes périodiques

III – Extension des méthodes discrètes

IV – Méthode nodale

Méthodes
numériques

I – Problèmes 1D

Mur semi infini

Mur fini et autres géométries

Modalités d'extension au 3D

Résistance interne négligeable

Solutions
analytiques

II – Problèmes périodiques

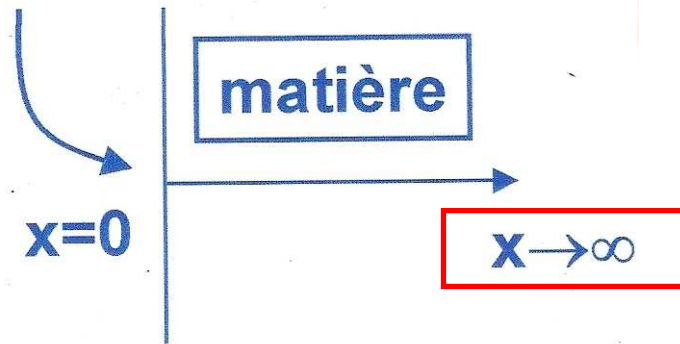
III – Extension des méthodes discrètes

IV – Méthode nodale

Méthodes
numériques

I – 1 Que représente le concept de mur semi infini (MSI) ?

excitation

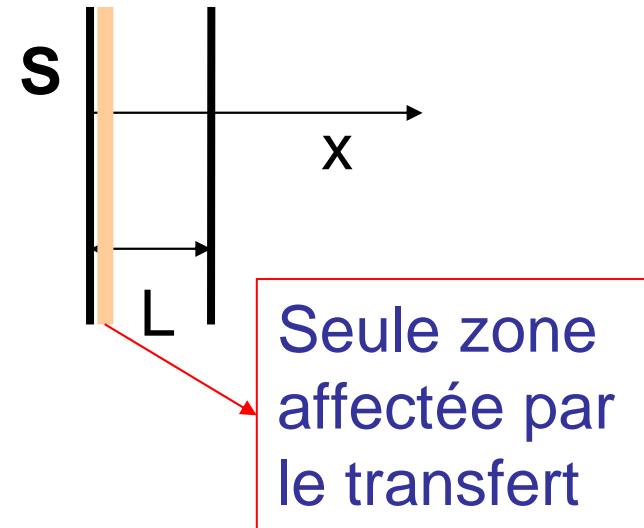


Transfert 1D (coordonnée x)

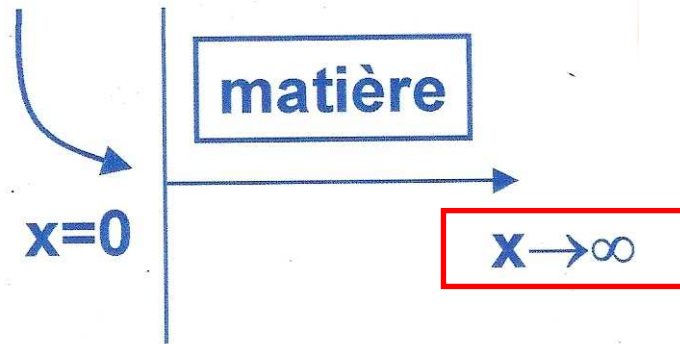
Extension des x infinie :

si on va suffisamment loin, on la matière demeure dans son état initial

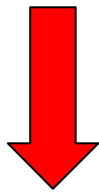
Mais peut aussi s'appliquer à un mur fini aux temps très courts



excitation



$$\rho c \frac{\partial T}{\partial t} = \lambda \frac{\partial^2 T}{\partial x^2}$$



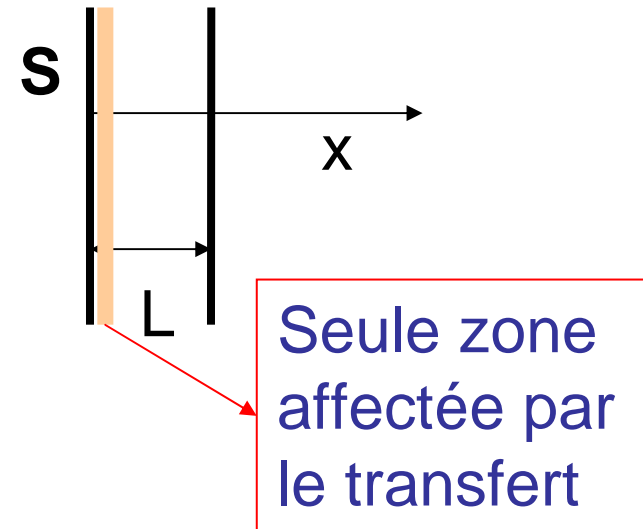
$$\frac{\partial T}{\partial t} = a \frac{\partial^2 T}{\partial x^2}$$

$$a = \frac{\lambda}{\rho c}$$



Diffusivité

Mais aussi un mur fini
aux temps très courts



On va s'appuyer sur le théorème de **VASCHY-BUCKINGHAM**,
qui indique que si un phénomène physique :

est décrit par **n** grandeurs physiques,

qui s'expriment en fonction de **k grandeurs fondamentales**
indépendantes au plan dimensionnel,

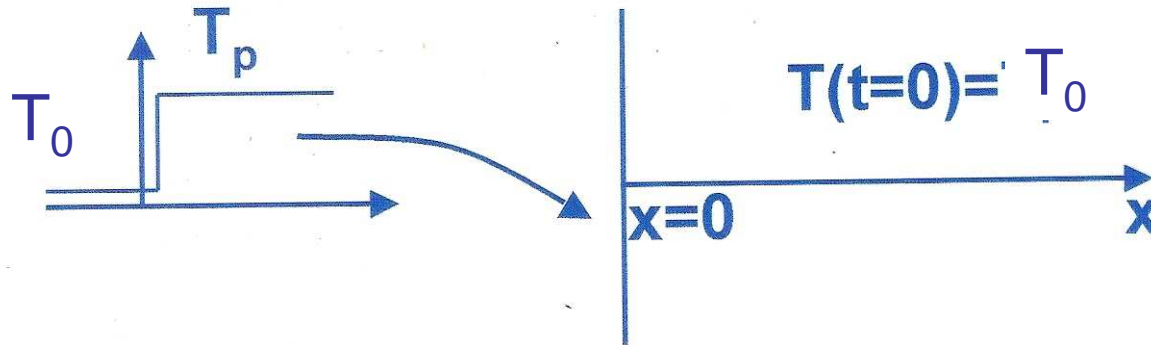
il est alors possible de grouper les **n** grandeurs physiques en
n-k produits sans dimension, notés

$$\Pi_j$$

et la solution du problème peut se formuler selon:

$$f(\Pi_1, \Pi_2, \Pi_3, \dots, \Pi_{n-k}) = 0$$

I – 1 -1 Problème de base : réponse d'un MSI isotherme à $t = 0$, à un échelon de température pariétale



$$\frac{\partial T}{\partial t} = a \frac{\partial^2 T}{\partial x^2} \quad (1)$$

$$T(x=0, t) = T_p \quad (2)$$

$$T(x=\infty, t) = T_0 \quad (3)$$

$$T(x, t=0) = T_0 \quad (4)$$

5 grandeurs physiques :

$T - T_p, T_0 - T_p, t, x, a$

3 unités indépendantes :

K, s, m

Identifier

$5 - 3 = 2$ produits

Les 2 produits:

$$\Pi_1 = \frac{T - T_p}{T_0 - T_p}$$

Température adimensionnelle, T^+

$$\Pi_2 = \frac{at}{x^2}$$

Nombre de **Fourier**, $Fo = \frac{at}{x^2}$

Remarques

1) En x donné, Fo est un temps adimensionné

$\frac{x^2}{a} \Rightarrow$ temps caractéristique

2) A t donné $\sqrt{at} \Rightarrow$ longueur caractéristique

Obtention de la solution

Posons :

$$u = \frac{x}{2\sqrt{at}} \quad (\rightarrow \Pi_1) \quad \text{et} \quad T^+ = \frac{T - T_p}{T_0 - T_p} \quad (\rightarrow \Pi_2)$$

$$\frac{\partial T}{\partial t} = a \frac{\partial^2 T}{\partial x^2} \quad (1) \quad \longrightarrow \quad \frac{d^2 T^+}{du^2} + 2u \frac{dT^+}{du} = 0 \quad (5)$$

$$T(x=0, t) = T_p \quad (2) \quad \left. \begin{array}{l} (2) \\ (3) \\ (4) \end{array} \right\} \longrightarrow \left\{ \begin{array}{l} T^+(0) = 0 \\ T^+(\infty) = 1 \end{array} \right. \quad (6)$$

$$T(x=\infty, t) = T_0 \quad (3) \quad \left. \begin{array}{l} (2) \\ (3) \\ (4) \end{array} \right\} \longrightarrow \left\{ \begin{array}{l} T^+(0) = 0 \\ T^+(\infty) = 1 \end{array} \right. \quad (7)$$

$$T(x, t=0) = T_0 \quad (4)$$

Posons alors

$$v = \frac{dT^+}{du} \quad (5) \rightarrow v = A \exp(-u^2)$$

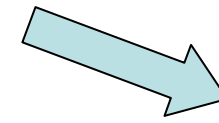
$$v = \frac{dT^+}{du}$$

$$(5) \rightarrow v = A \exp(-u^2)$$



$$\frac{\sqrt{\pi}}{2} \rightarrow T^+ = \frac{\int_0^u e^{-\xi^2} d\xi}{\int_0^\infty e^{-\xi^2} d\xi}$$

$$v = \frac{dT^+}{du} \quad (5) \rightarrow v = A \exp(-u^2)$$



$$\frac{\sqrt{\pi}}{2}$$

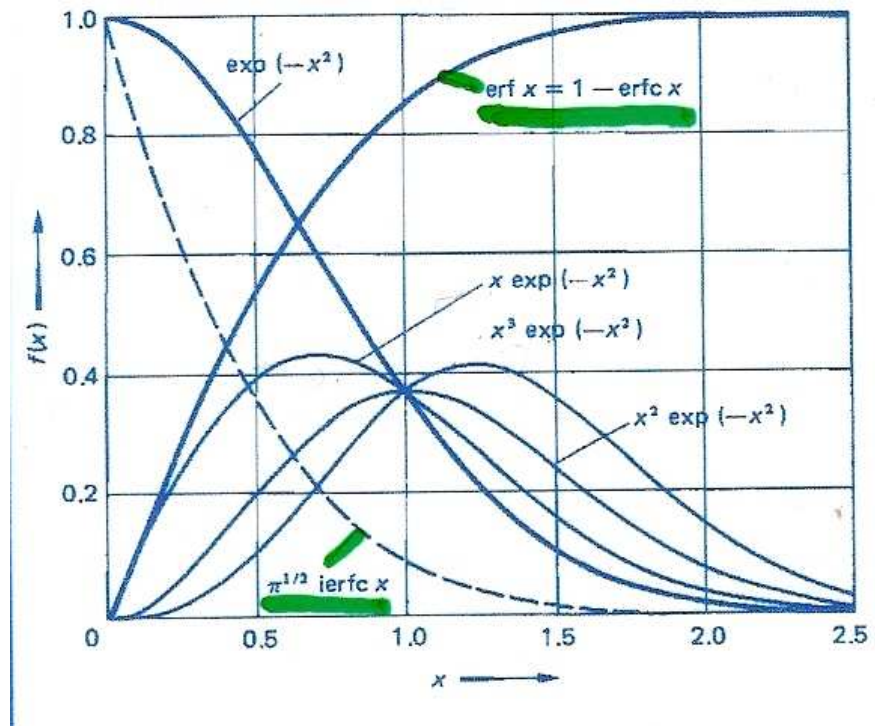
$$T^+ = \frac{\int_0^u e^{-\xi^2} d\xi}{\int_0^\infty e^{-\xi^2} d\xi}$$

Notes sur la fonction d'erreur erf(x)

$$\operatorname{erf}(x) = \frac{2}{\sqrt{\pi}} \int_0^x e^{-\xi^2} d\xi$$

$$\operatorname{erfc}(x) = 1 - \operatorname{erf}(x)$$

$$\begin{aligned} \operatorname{ierfc}(x) &= \int_x^\infty \operatorname{erfc}(\xi) d\xi \\ &= \frac{1}{\sqrt{\pi}} e^{-x^2} - x \operatorname{erfc}(x) \end{aligned}$$

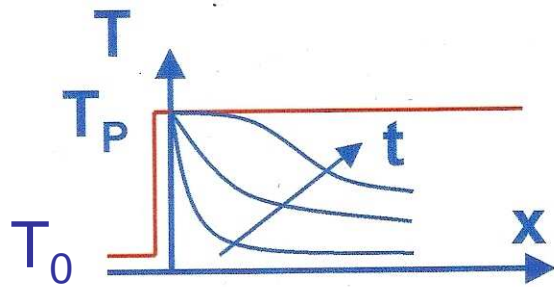


En conséquence, $T^+ = \text{erf}(u)$ avec $u = \frac{x}{2\sqrt{at}}$

D'où :

$$T = T_p + (T_0 - T_p) \text{erf} \frac{x}{2\sqrt{at}} \quad \text{ou} \quad T = T_0 + (T_p - T_0) \text{erfc} \frac{x}{2\sqrt{at}}$$

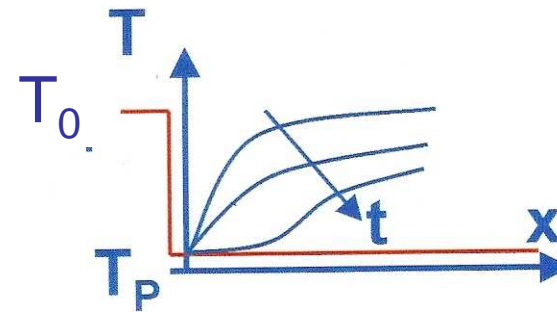
Echauffement : $T_p > T_0$



Si $T_0 = 0$

$$T = T_p \text{erfc} \left(\frac{x}{2\sqrt{at}} \right)$$

Refroidissement : $T_p < T_0$



Si $T_p = 0$

$$T = T_0 \text{erf} \left(\frac{x}{2\sqrt{at}} \right)$$

Densité de flux pariétal q_p

La définition de $q_p = -\lambda \left(\frac{\partial T}{\partial x} \right)_{x=0}$ conduit à $q_p = \frac{T_p - T_0}{\sqrt{\pi t}} \sqrt{\lambda \rho c}$

On définit l'effusivité

$$b = \sqrt{\lambda \rho c}$$

$$b \text{ en } J / m^2 K s^{1/2}$$

Retenir que le flux pariétal q_p varie en

$$\frac{b}{\sqrt{t}}$$

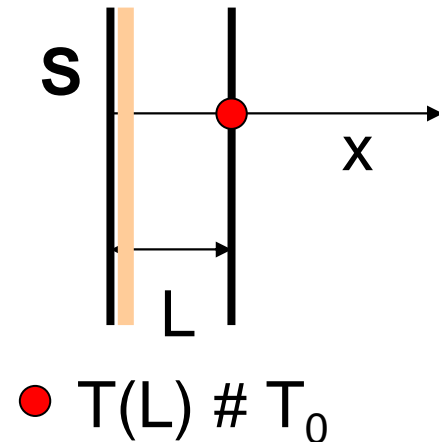
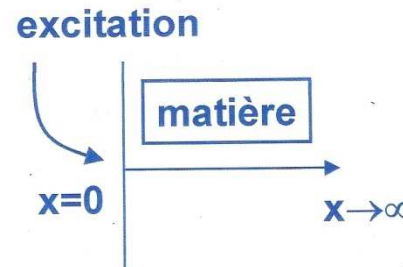
matériau	b(J/m ² Ks ^{1/2})
cuivre	36 000
aluminium	24 700
dural	20 200
fer	15 000
béton	1 600
eau	1 400
bois	400
gaz	6

Remarque

Quand est ce qu'un **Mur fini** d'épaisseur L peut être assimilé à un mur semi infini ?

$$T = T_p + (T_0 - T_p) \operatorname{erf} \frac{x}{2\sqrt{at}}$$

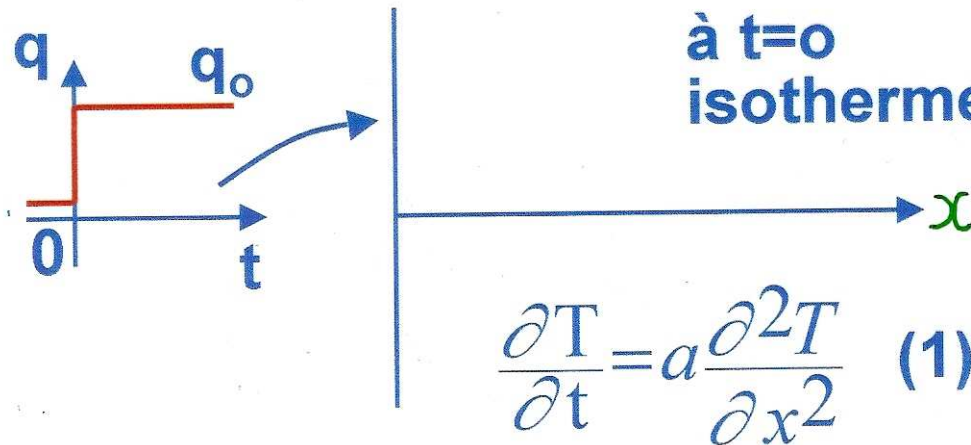
Pour avoir $\operatorname{erf}(u) > 0.99$,
il faut $u > 1.82$, soit $\frac{at}{L^2} \leq 0.07$



On peut retenir que les expressions du mur semi infini s'appliquent au mur fini, pourvu que :

$$\text{Fo} \rightarrow \frac{at}{L^2} \ll 1, \text{ soit } L \gg \sqrt{at}, \text{ ou encore } t \ll \frac{L^2}{a}$$

I – 1 -2 Problème dérivé: réponse d'un MSI isotherme à $t = 0$, à un **échelon de flux**



Astuce
* $\left(-\lambda \frac{\partial}{\partial x} \right)$

et utiliser $q = -\lambda \frac{\partial T}{\partial x}$

$$\frac{\partial}{\partial t} \left(-\lambda \frac{\partial T}{\partial x} \right) = a \frac{\partial^2}{\partial x^2} \left(-\lambda \frac{\partial T}{\partial x} \right)$$

$$\frac{\partial q}{\partial x} = a \frac{\partial^2 q}{\partial x^2}$$

$$q(x=0, t) = q_0$$

$$q(x=\infty, t) = 0$$

$$q(x, t=0) = 0$$

$$q = q_0 \operatorname{erfc} \frac{x}{2\sqrt{at}}$$

D'où, en intégrant $q = -\lambda \frac{\partial T}{\partial x} :$

$$T(x,t) = T_0 + \frac{2q_0\sqrt{t}}{b} \operatorname{ierfc} \frac{x}{2\sqrt{at}}$$

Compte tenu de ce que: $\operatorname{ierfc}(0) = \frac{1}{\sqrt{\pi}}$, il vient:

$$T(o,t) = T_p(t) = T_0 + \frac{2q_0\sqrt{t}}{b\sqrt{\pi}}$$

Noter:

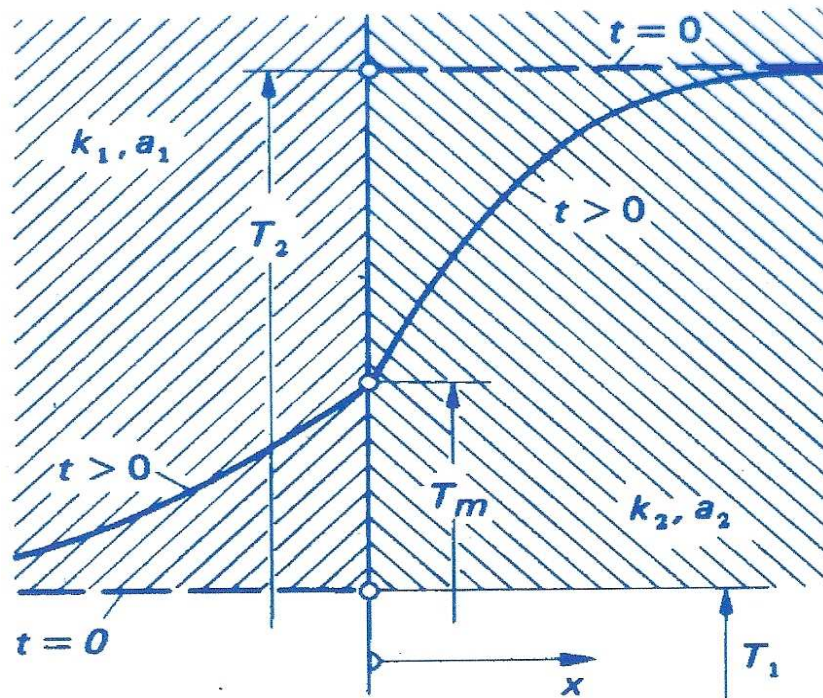
$$\begin{array}{l} T_p \text{ en } \sqrt{t} \\ T_p \text{ en } 1/b \end{array}$$

I – 1 -3 Contact parfait entre 2 solides

Hypothèses

Temps suffisamment court

Contact à $t = 0$: l'interface est portée à T_m , qui reste sensiblement constante sur la durée de l'étude



$$T_1 < T_m < T_2$$

On formule, pour chacun des deux matériaux l'hypothèse du mur demi infini. Cela conduit aux densités de flux local échangé par conduction au niveau du contact :

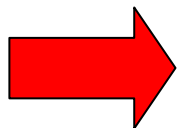
$$|q_1(0,t)| = (T_m - T_1) \frac{b_1}{\sqrt{\pi t}}$$
$$|q_2(0,t)| = (T_2 - T_m) \frac{b_2}{\sqrt{\pi t}}$$

A chaque instant, l'interface ne stockant aucun flux, ces modules doivent être égaux, d'où :

$$\frac{(T_m - T_1)}{(T_2 - T_m)} = \frac{b_2}{b_1}$$

La température d'interface est donc:

$$T_m = \frac{b_1}{b_1 + b_2} T_1 + \frac{b_2}{b_1 + b_2} T_2$$



Le matériau de plus forte effusivité impose sa température à l'interface

I – Problèmes 1D

Mur semi infini

Mur fini et autres géométries

Modalités d'extension au 3D

Résistance interne négligeable

II – Problèmes périodiques

III – Extension des méthodes discrètes

IV – Méthode nodale

Solutions
analytiques

Méthodes
numériques

I – 2 Configurations en géométrie finie

Mur, sphère, cylindre

Distribution initiale de température uniforme

Soumise à une liaison convective : plongé dans un milieu fluide à T_f

Démonstration pour le plan et extensions au cylindre, à la sphère

Analyse générale :

$$\frac{\partial T}{\partial t} = a \left(\frac{\partial^2 T}{\partial r^2} + \frac{n}{r} \frac{\partial T}{\partial r} \right)$$

$n = 0$, mur plan

1, cylindre

2, sphère

Idée : séparer les variables

$$T = \Phi(t)\Psi(r)$$

$$\frac{1}{a} \frac{\Phi'}{\Phi} = \pm \beta^2 \longrightarrow \text{Temps : } \Phi = C \exp(-\beta^2 at)$$

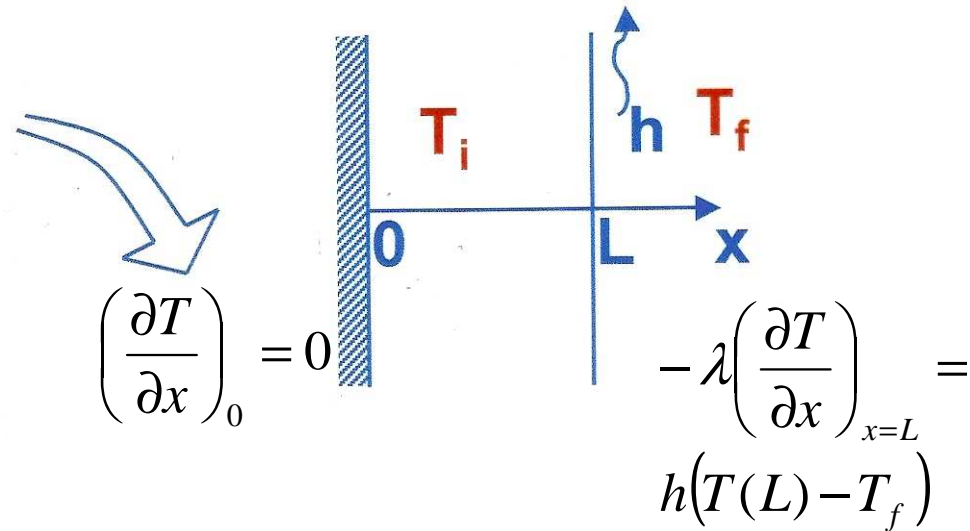
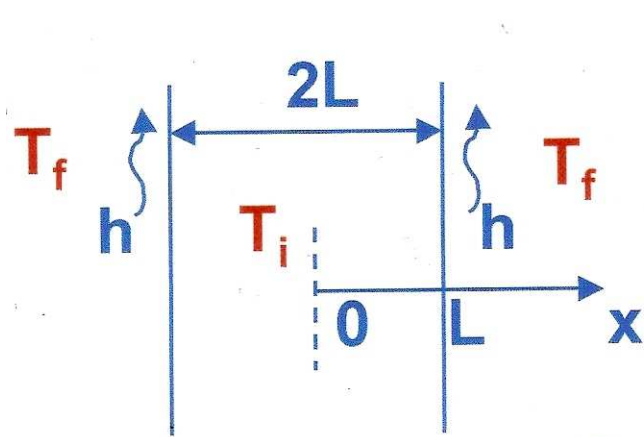
$$\frac{1}{\Psi} \left(\Psi'' + \frac{n\Psi'}{r} \right) = \pm \beta^2$$

Espace

Problème	Fonction ψ
Plan	$C' \cos \beta r$ et $C'' \sin \beta r$
Cylindre	$C' J_0(\beta r)$ et $C'' Y_0(\beta r)$
Sphère	$C' \frac{\sin \beta r}{\beta r}$ et $C'' \frac{\cos \beta r}{\beta r}$

J_0 et Y_0 : fonctions de Bessel

I – 2- 1 Mur plan initialement isotherme (T_i) et plongé dans un fluide à T_f différent de T_i



$$\frac{\partial T}{\partial t} = a \frac{\partial^2 T}{\partial x^2}$$

$$\left(\frac{\partial T}{\partial x}\right)_0 = 0$$

$$-\lambda \left(\frac{\partial T}{\partial x}\right)_{x=L} = h(T(L) - T_f)$$

$$T(x, t = 0) = T_i$$

$$\frac{\partial T}{\partial t} = a \frac{\partial^2 T}{\partial x^2}$$

Poser $\theta = T - T_f$

$$\left(\frac{\partial T}{\partial x} \right)_0 = 0$$

$$-\lambda \left(\frac{\partial T}{\partial x} \right)_{x=L} = h(T(L) - T_f)$$

$$T(x, t = 0) = T_i$$

n = 8 variables physiques : $\theta, \theta_i, a, \lambda, h, t, x, L$

k = 4 dimensions : K, m, s, W

➡ Vaschy-Buckingham → **4 produits** adimensionnels


$n = 8$ variables physiques : $\theta, \theta_i, a, \lambda, h, t, x, L$

$$\Pi_1 = \frac{T - T_f}{T_i - T_f} = \frac{\theta}{\theta_i} = \theta^* \quad \text{Température adimensionnelle}$$

$$\Pi_2 = \frac{x}{L} = x^* \quad \text{Longueur adimensionnelle}$$

$$\Pi_3 = \frac{at}{L^2} = Fo = t^* \quad \text{Temps adimensionnel :} \rightarrow \text{Fourier}$$

Reste à grouper h, λ et $L \rightarrow \Pi_4$

 Nombre de BIOT :
$$Bi = \frac{hL}{\lambda}$$

Solution : $\theta^* = f(x^*, Fo, Bi)$

$$\frac{\partial \theta^*}{\partial t^*} = \frac{\partial^2 \theta^*}{\partial x^{*2}}$$

$$\left(\frac{\partial \theta^*}{\partial x^*} \right)_{x^*=0} = 0$$

$$\left(\frac{\partial \theta^*}{\partial x^*} \right)_{x^*=1} = -Bi \theta^*(1, t^*)$$

$$\theta^*(x^*, 0) = 1$$

Base:

$$C \exp(-\delta^2 t^*)$$

$$C' \cos \delta x^* + C'' \sin \delta x^*$$

Solution

$$\theta^* = \sum_{n=1}^{\infty} \frac{2 \sin \delta_n}{\delta_n + \sin \delta_n \cos \delta_n} \exp(-\delta_n^2 t^*) \cos \delta_n x^* \quad \text{avec} \quad \delta_n \operatorname{tg} \delta_n = Bi$$

Rappel :

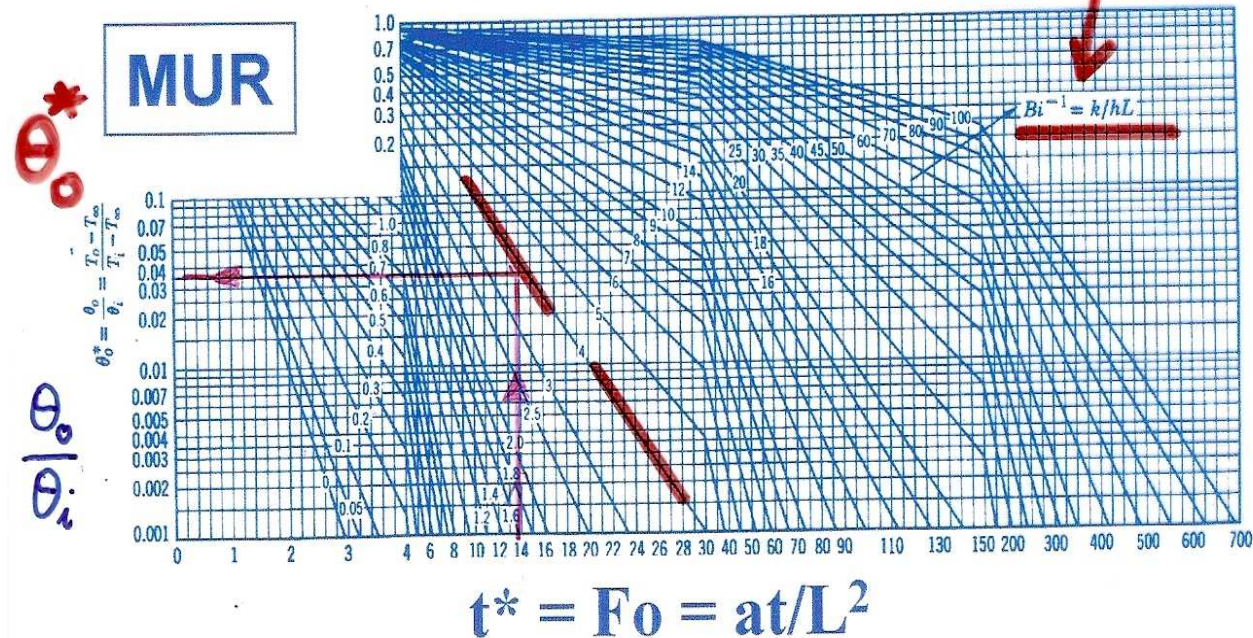
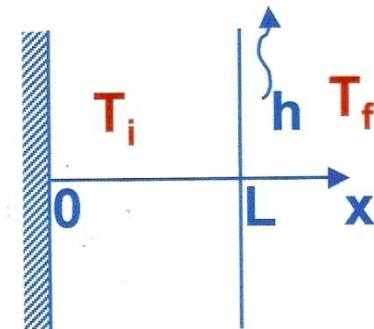
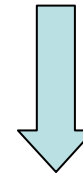
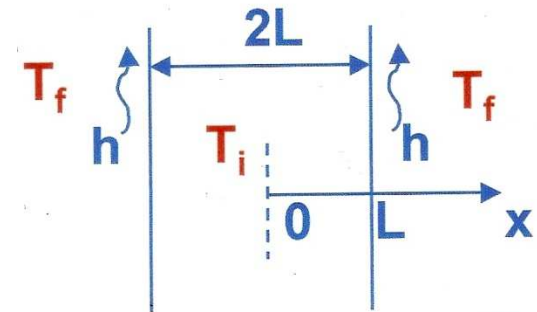
$$\theta^* = \frac{T(x, t) - T_f}{T_i(x, t) - T_f} \quad Bi = \frac{hL}{\lambda} \quad Fo = \frac{at}{L^2}$$

II – 2 - 2 Exploitation graphique : les abaques de HEISLER (Fo>0.2)

Au centre du mur :

$$\theta_0^* = f(t^*, Bi)$$

$$\theta_0^* = \frac{T_0 - T_f}{T_i - T_f} = \frac{\theta_0}{\theta_i} \rightarrow T_0 = T_f + \theta_0^* (T_i - T_f)$$

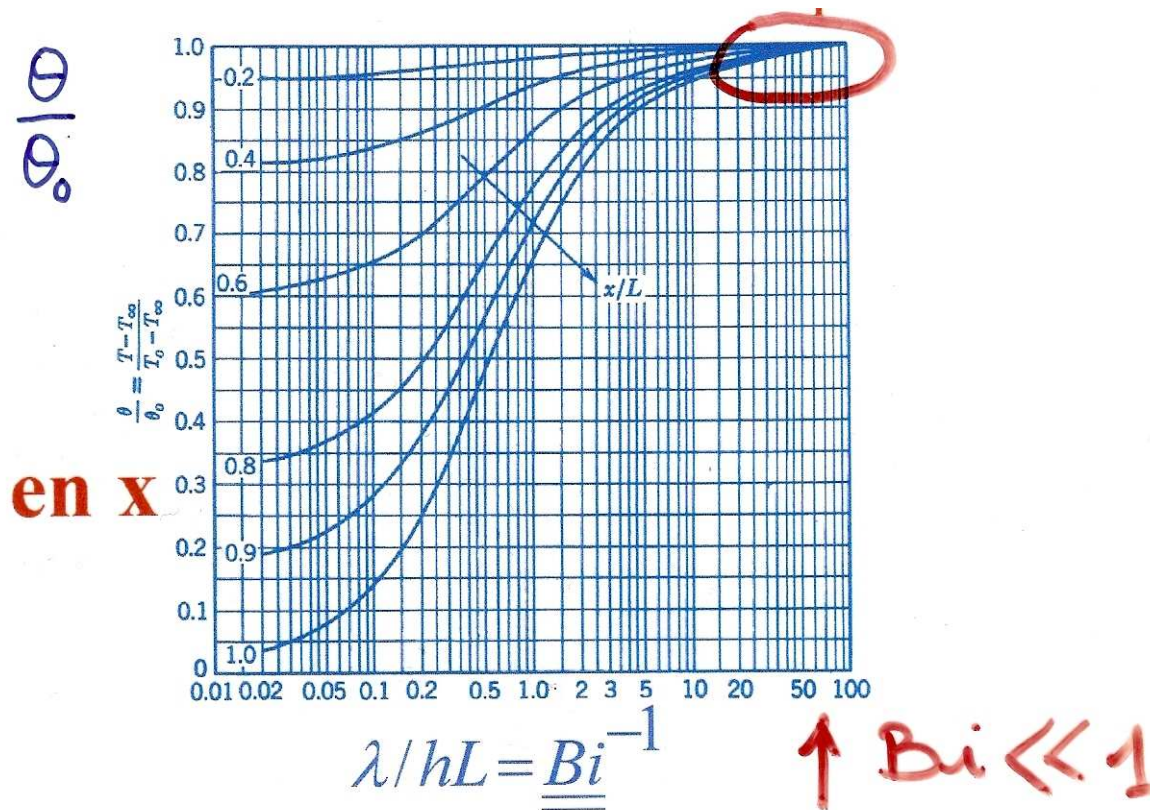


En un point quelconque, x

$$\theta = T - T_f$$

$$\frac{\theta}{\theta_0} = \frac{T - T_f}{T_0 - T_f} \rightarrow T = T_f + \frac{\theta}{\theta_0} (T_0 - T_f)$$

Abaque



A propos des abaques de Heisler

1) Raisonnement et abaques similaires pour cylindre et sphère

2) Origine de la condition restrictive: $Fo < 0.2$ $\theta^* = \frac{T - T_f}{T_i - T_f}$

$$\theta^* = \sum_{n=1}^{\infty} \frac{2 \sin \delta_n}{\delta_n + \sin \delta_n \cos \delta_n} \exp(-\delta_n^2 Fo) \cos \delta_n x^* \quad (t^* = Fo = at/L^2)$$

$$\theta^* = A_1 \cos \delta_1 \frac{x}{L} \exp(-\delta_1^2 Fo) + A_2 \cos \delta_2 \frac{x}{L} \exp(-\delta_2^2 Fo) \\ + A_3 \cos \delta_3 \frac{x}{L} \exp(-\delta_3^2 Fo) + \dots$$

Si Fo Grand :

$$\theta^* \approx A_1 \cos \delta_1 \frac{x}{L} \exp(-\delta_1^2 Fo)$$

En pratique: $Fo > 0.2$

I – Problèmes 1D

Mur semi infini

Mur fini

Autres géométries

Modalités d'extension au 3D

Résistance interne négligeable

II – Problèmes périodiques

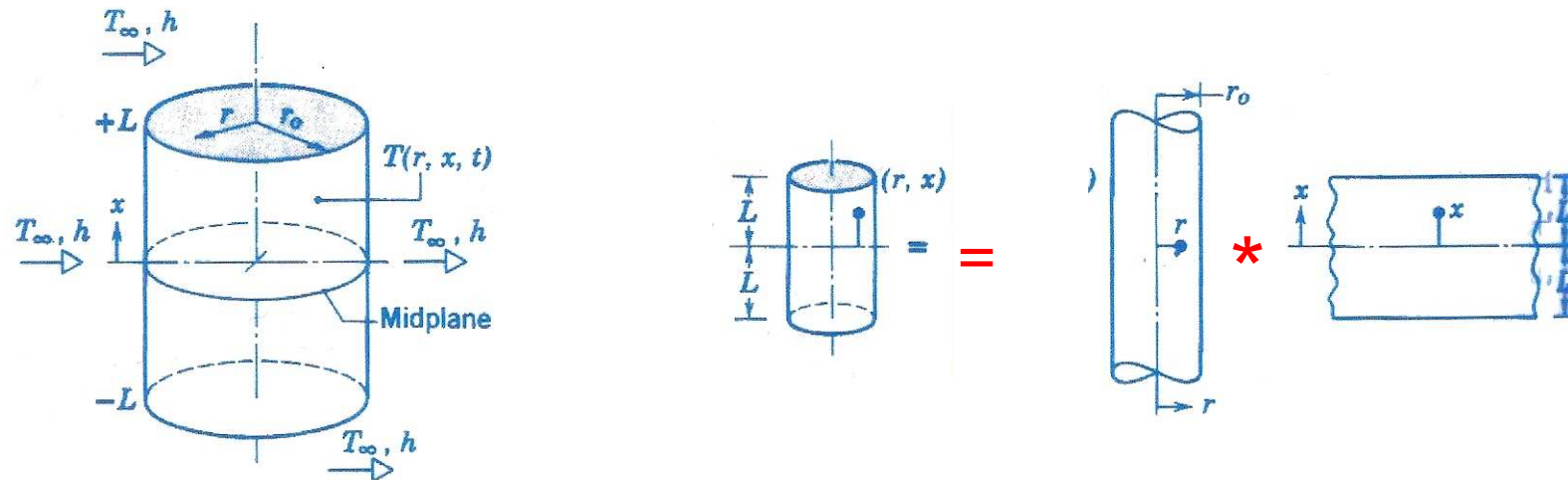
III – Extension des méthodes discrètes

IV – Méthode nodale

Solutions
analytiques

Méthodes
numériques

I – 3 Essai de prise en compte d'effets n dimensionnels



Idée : Séparer les coordonnées spatiales

$$\frac{T(r, x, t) - T_f}{T_i - T_f} = \underbrace{\frac{T(r, t) - T_f}{T_i - T_f}}_{\text{Cylindre infini}} * \underbrace{\frac{T(x, t) - T_f}{T_i - T_f}}_{\text{Mur plan}}$$

Cylindre infini **Mur plan**

HEISLER

Exemple d'un cylindre de hauteur finie

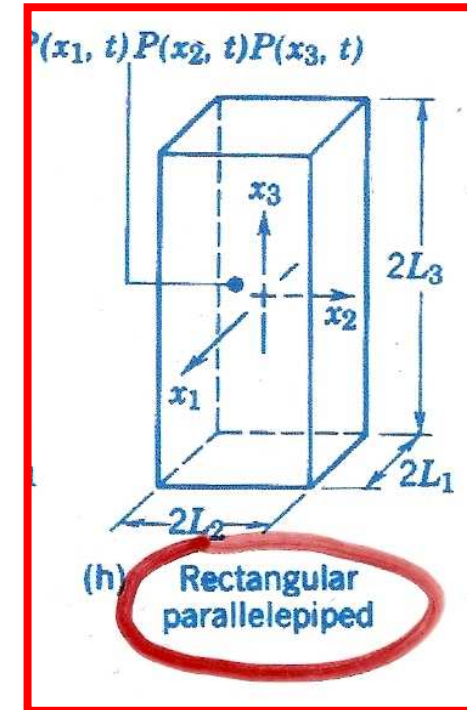
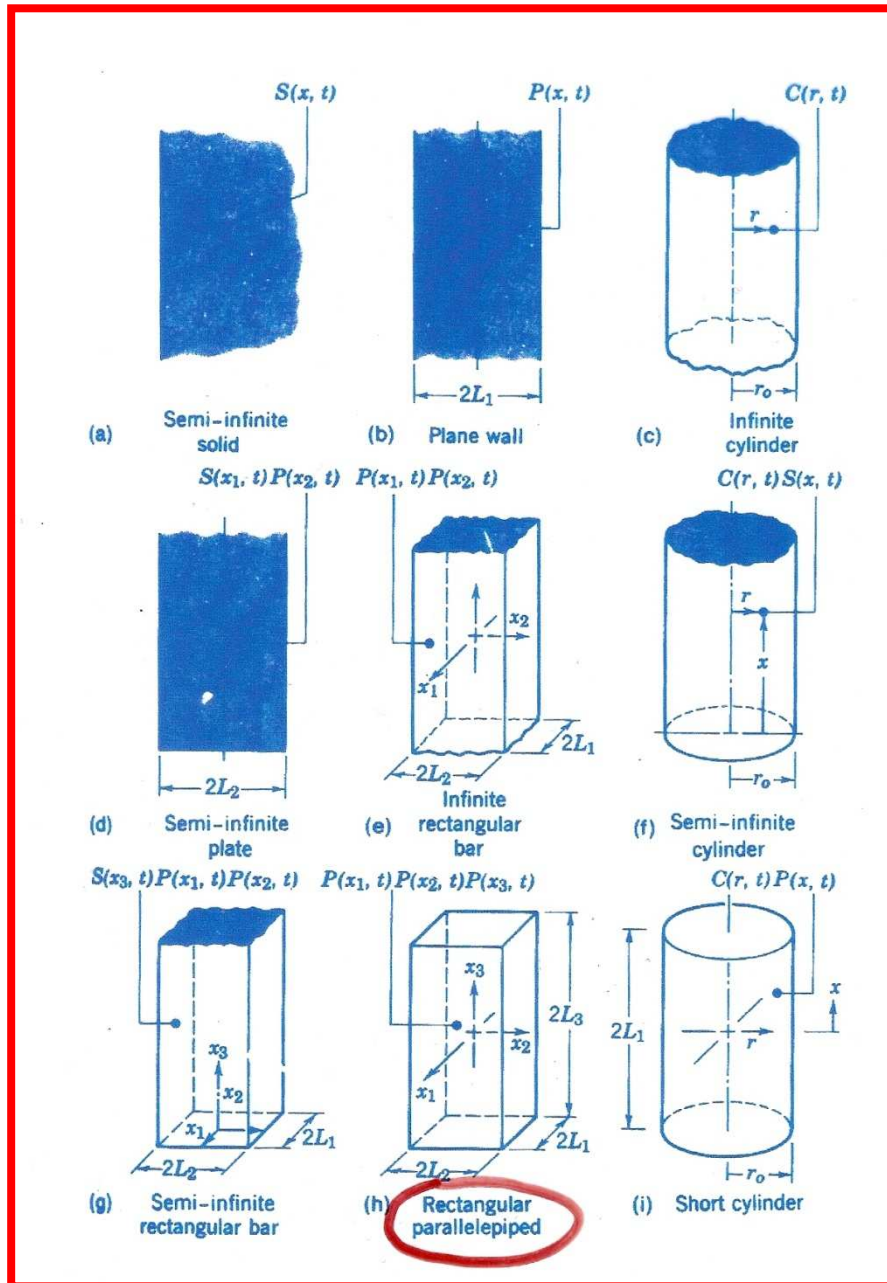
Généralisation :

S'appuyer sur les solutions :

$$S(x,t) = \frac{T(x,t) - T_f}{T_i - T_f} \quad \left. \vphantom{\frac{T(x,t) - T_f}{T_i - T_f}} \right) \text{ Solide semi infini}$$

$$P(x,t) = \frac{T(x,t) - T_f}{T_i - T_f} \quad \left. \vphantom{\frac{T(x,t) - T_f}{T_i - T_f}} \right) \text{ Mur plan fini}$$

$$C(r,t) = \frac{T(r,t) - T_f}{T_i - T_f} \quad \left. \vphantom{\frac{T(r,t) - T_f}{T_i - T_f}} \right) \text{ Cylindre infini}$$



$$\frac{T(x, y, z, t) - T_f}{T_i - T_f} = P(x_1, t)P(x_2, t)P(x_3, t)$$

I – Problèmes 1D

Mur semi infini

Mur fini

Autres géométries

Modalités d'extension au 3D

Résistance interne négligeable

II – Problèmes périodiques

III – Extension des méthodes discrètes

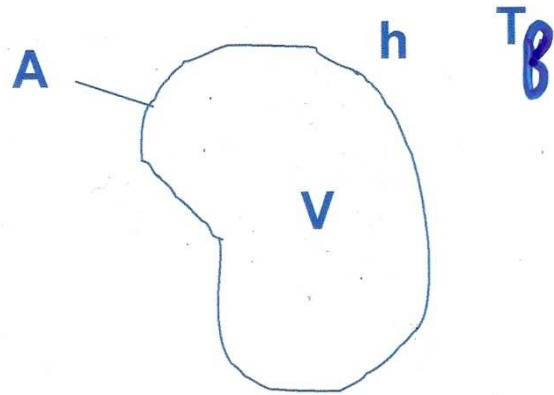
IV – Méthode nodale

Solutions
analytiques

Méthodes
numériques

I -4 Corps à résistance interne négligeable

Valable en cas de faibles gradients



- Système quasiment isotherme
- Les échanges se font par convection à la frontière

Bilan:

$$\rho c V \frac{dT}{dt} = hA(T_f - T)$$

Posons $\theta = T - T_f$. Il vient:

$$\frac{d\theta}{dt} + \frac{hA}{\rho c V} \theta = 0, \text{ avec } \theta_i = T_i - T_f$$

➡ Système du premier ordre avec pour constante de temps:

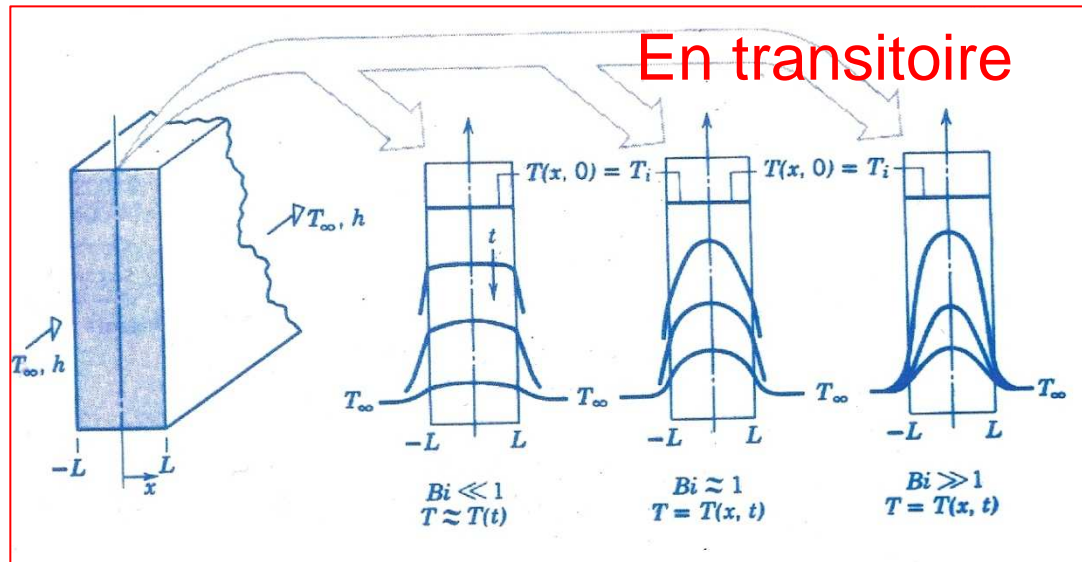
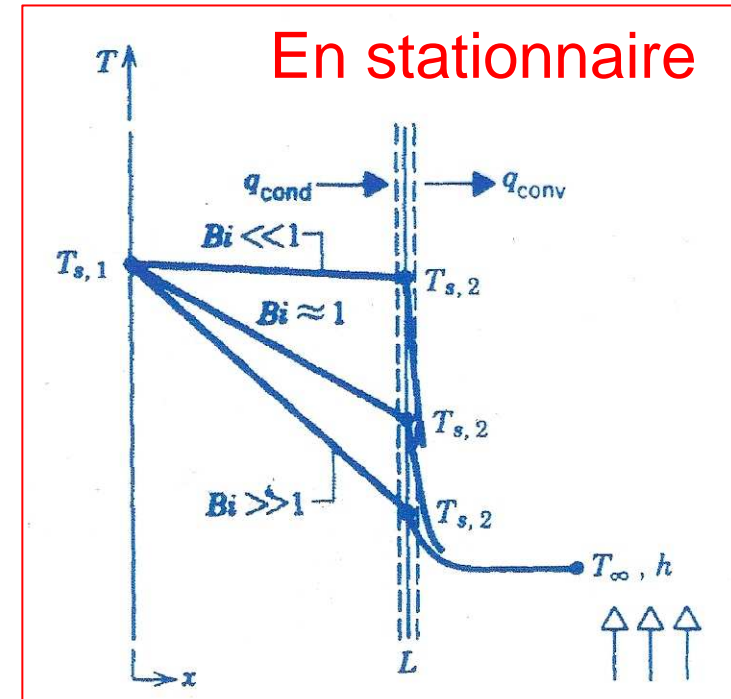
$$\tau = \frac{\rho c V}{hA}$$

Retour sur le nombre de BIOT

$$Bi = hL/\lambda = hS / (\lambda S/L)$$

C'est donc le quotient :
résistance interne / résistance
externe

Si $Bi \ll 1 \rightarrow$ isotherme

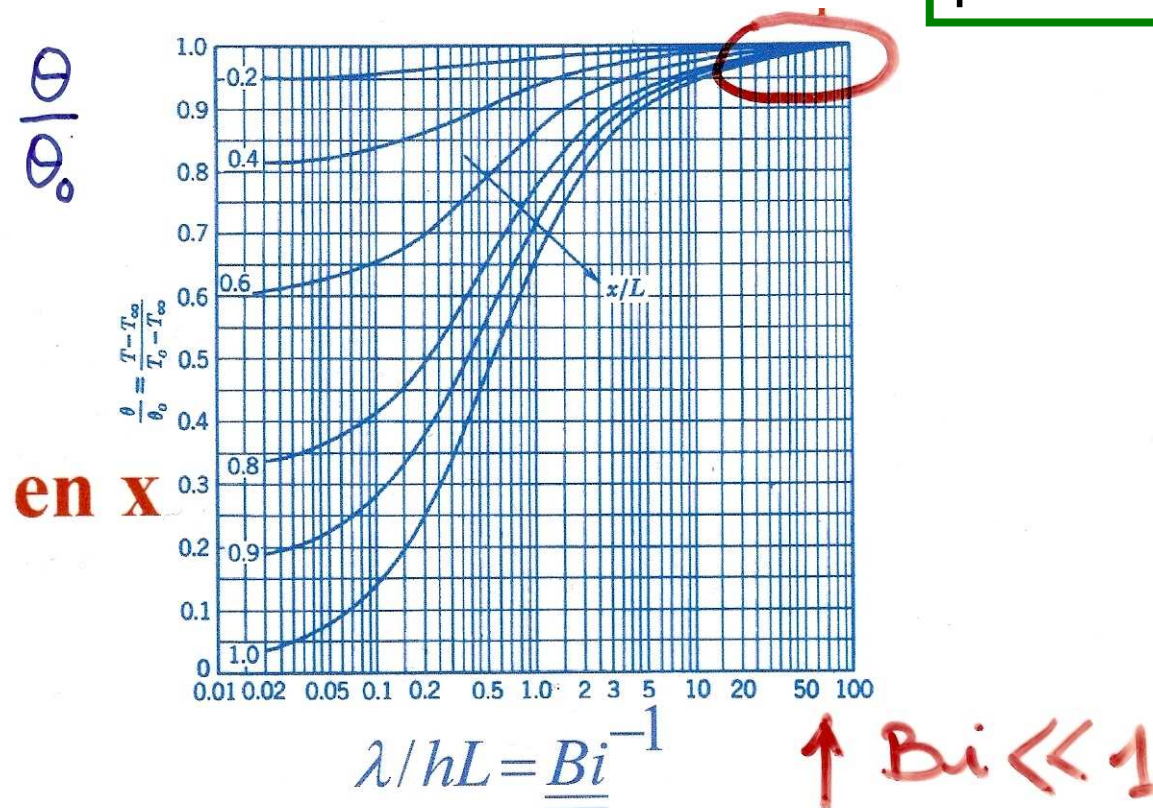


Conclusion sur la validité de la méthode : $Bi = hL_c / \lambda$

On peut raisonner en négligeant la résistance interne si :
 $Bi \ll 1$ (concrètement , si $Bi < 0.1$)

Retour sur Heisler

En général, on peut
prendre $L_c = V / A$



I – Problèmes 1D

Mur semi infini

Mur fini

Autres géométries

Modalités d'extension au 3D

Résistance interne négligeable

II – Problèmes périodiques

III – Extension des méthodes discrètes

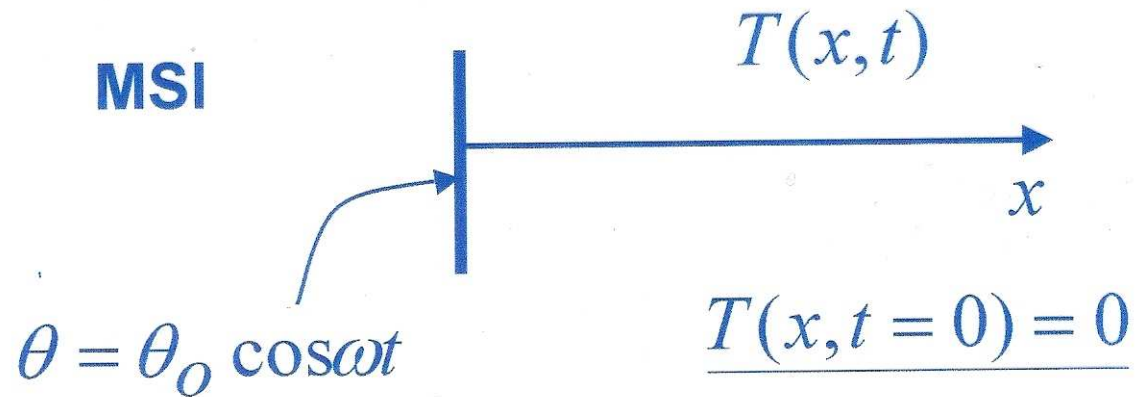
IV – Méthode nodale

Solutions
analytiques

Méthodes
numériques

II – Les Régimes périodiques

A titre d'exemple, nous allons traiter le cas d'un mur semi infini soumis que sa frontière $x = 0$ à une condition de température imposée périodique



Associons les températures T et \bar{T} correspondant respectivement à la condition en $\theta_0 \cos \omega t$ et en $\theta_0 \sin \omega t$.

Les équations étant linéaires, nous allons rechercher la solution en $T^* = T + j\bar{T}$ et en extrairons alors la partie réelle : $\text{Re}(T^*)$

$$\frac{\partial T^*}{\partial t} = a \frac{\partial^2 T^*}{\partial x^2}$$

$$T^*(0, t) = \theta_0 e^{j\omega t}$$

$$T^*(\infty, t) = 0$$

ω : pulsation

$T_e = 2\pi / \omega$: période

Recherchons la solution, correspondant au régime établi, sous la forme:

$$T^*(x, t) = f(x) e^{j\omega t}$$

Il vient :

$$\frac{d^2 f}{dx^2} - \frac{j\omega}{a} f = 0$$

$$f(x=0) = \theta_0$$

$$f(\infty) = 0$$

Solution

$$\frac{d^2 f}{dx^2} - \frac{j\omega}{a} f = 0 \rightarrow f(x) = \theta_0 \exp\left(\left(-\frac{j\omega}{a}\right)^{1/2} x\right), \quad d'où :$$

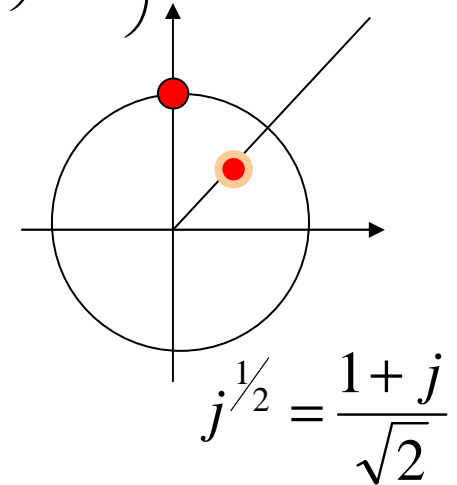
$$T^*(x, t) = \theta_0 \exp\left(-\sqrt{\frac{\omega}{2a}} x\right) \exp j\left(\omega t - \sqrt{\frac{\omega}{2a}} x\right)$$

Or, $T(x, t) = \text{Re}(T^*)$, donc :

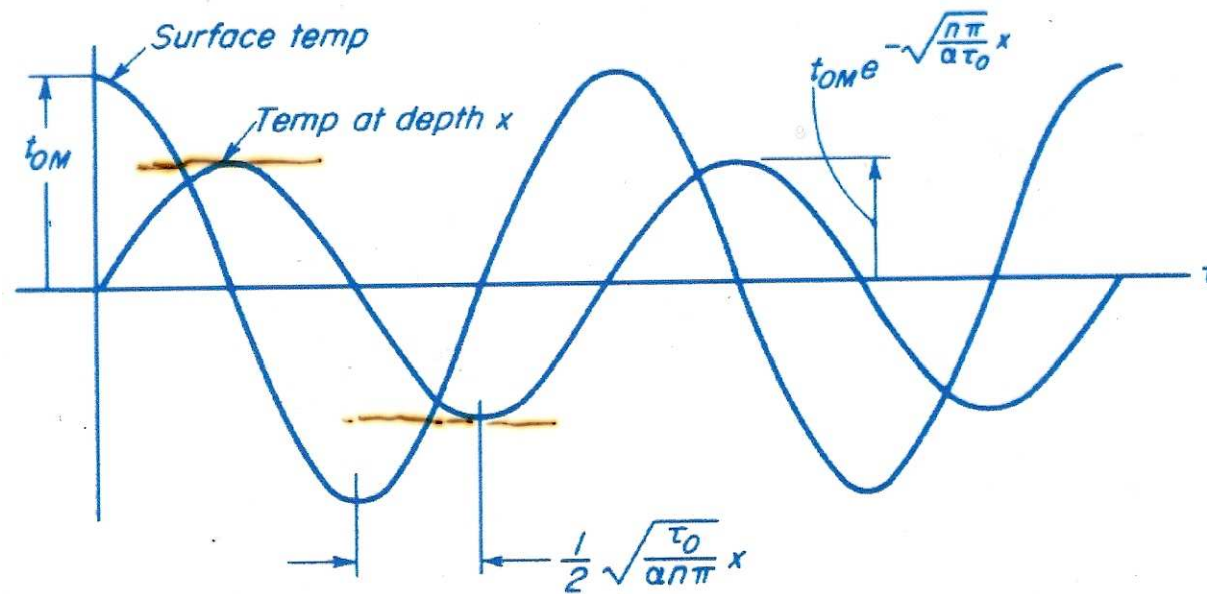
$$T(x, t) = \theta_0 \exp\left(-\sqrt{\frac{\omega}{2a}} x\right) \cos\left(\omega t - \sqrt{\frac{\omega}{2a}} x\right)$$

$$\omega = \frac{2\pi}{T_e}$$

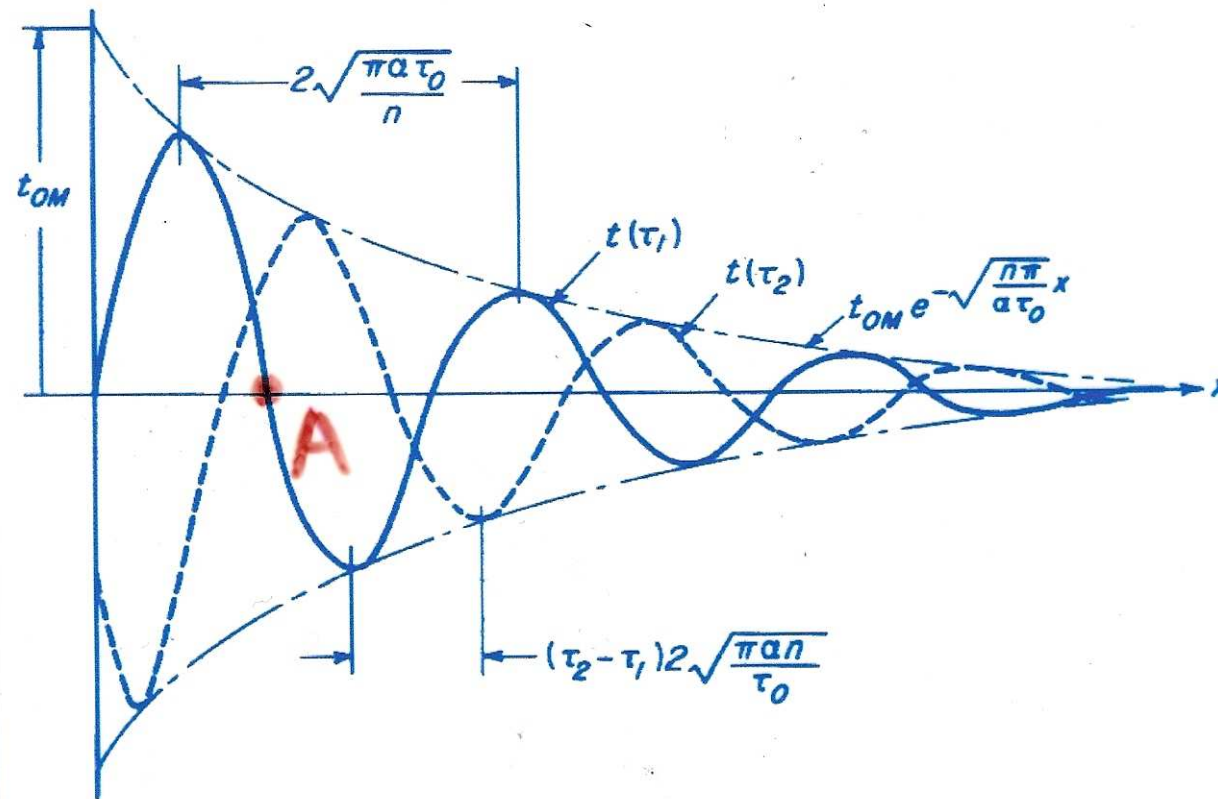
Soit encore: $T(x, t) = \theta_0 \exp\left(-\sqrt{\frac{\pi}{aT_e}} x\right) \cos \frac{2\pi}{T_e} \left(t - \frac{1}{2} \sqrt{\frac{T_e}{\pi a}} x\right)$



Allure du champ de température



Evolution temporelle

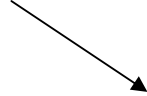


Variation spatiale

Commentaires

La constante d'espace

$$T(x, t) = \theta_0 \exp\left(-\sqrt{\frac{\pi}{aT_e}}x\right) \cos \frac{2\pi}{T_e} \left(t - \frac{1}{2} \sqrt{\frac{T_e}{\pi a}}x\right)$$


$$\exp\left(-\frac{x}{\sqrt{\frac{aT_e}{\pi}}}\right)$$

La constante

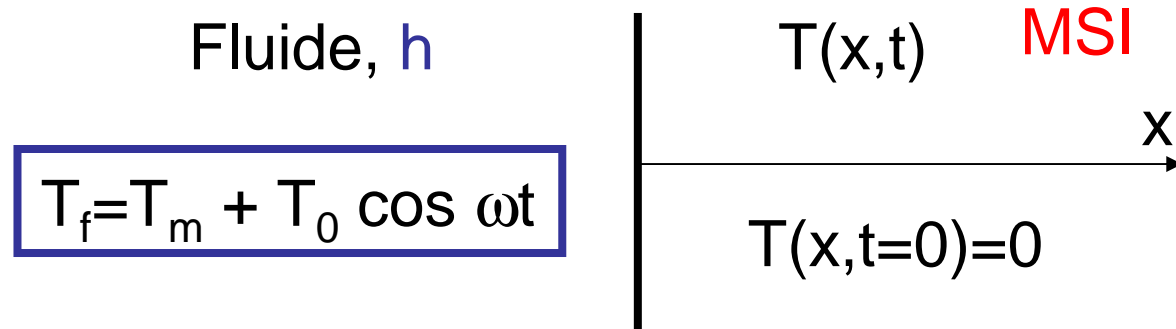
$$\delta = \sqrt{\frac{aT_e}{\pi}} = \sqrt{\frac{2a}{\omega}}$$

caractérise l'amortissement exponentiel des amplitudes

- Grande période, faible fréquence : pénètre **profondément**
- Faible période, grande fréquence : pénètre **peu**

Cas d'une liaison convective avec un fluide dont la température connaît une variation périodique

On considère toujours un Mur semi infini, mais c'est le fluide maintenant qui voit sa température varier à la pulsation ω



On utilise la technique de séparation des variables et on aboutit à une solution qui met en jeu :

- l'épaisseur de pénétration : $\delta = \sqrt{2a/\omega}$
- le nombre de Biot : $Bi = h\delta/\lambda$

$$\delta = \sqrt{2a/\omega} \quad \text{épaisseur de pénétration}$$

$$Bi = h\delta/\lambda \quad \text{nombre de Biot}$$

La solution fait intervenir un déphasage supplémentaire, φ :

$$\theta(x,t) = T(x,t) - T_m = \theta_0 \eta \exp\left(-\frac{x}{\delta}\right) \cos\left(\omega t - \frac{x}{\delta} - \varphi\right)$$

$$\text{avec } \tan(\varphi) = \frac{1}{1 + Bi}$$

$$\text{et } \eta = \left(\sqrt{1 + \frac{2}{Bi} + \frac{2}{Bi^2}} \right)^{-1}$$

I – Problèmes 1D

Mur semi infini

Mur fini

Autres géométries

Modalités d'extension au 3D

Résistance interne négligeable

II – Problèmes périodiques

III – Extension des méthodes discrètes

IV – Méthode nodale

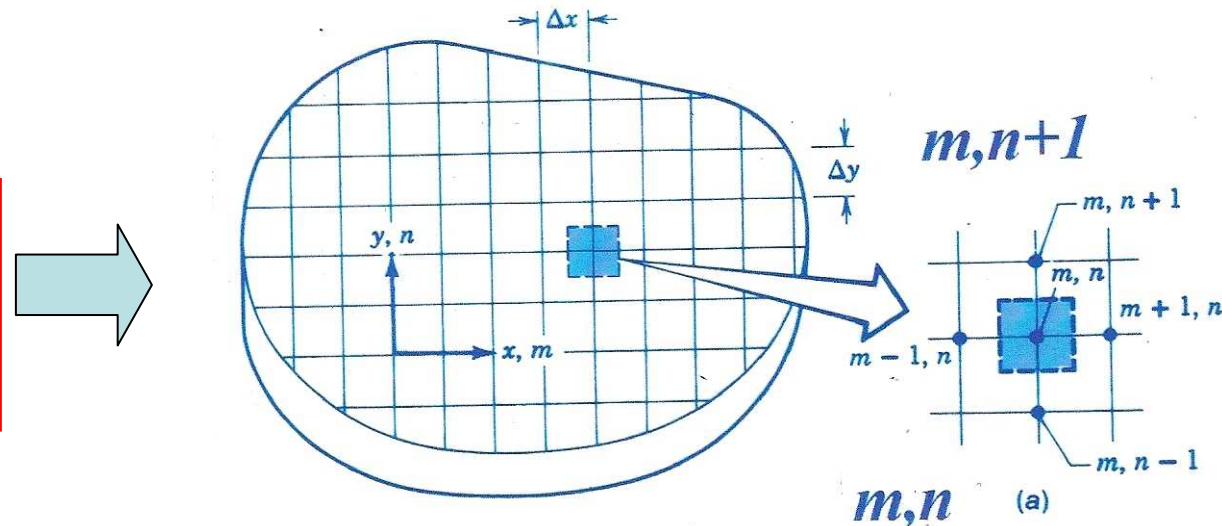
Solutions
analytiques

Méthodes
numériques

III - Extension des méthodes discrètes

Nous allons nous placer ici dans le cadre des différences finies et allons les étendre au cas des régimes transitoires

Toujours l'idée d'un **maillage** de points

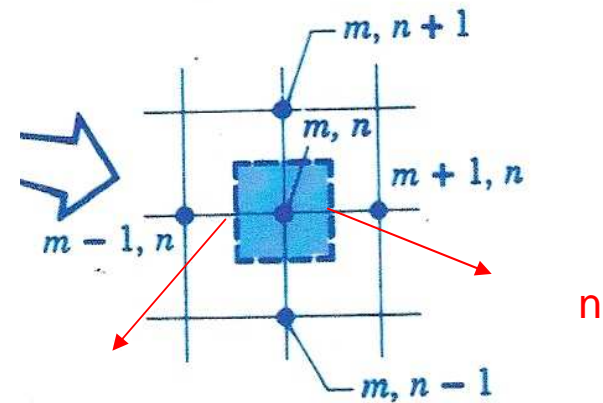


Nous travaillerons toujours en 2D, en supposant la conductivité thermique λ uniforme et indépendante de la température

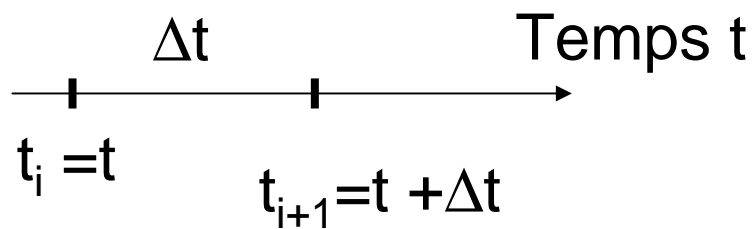


$$\rho c \frac{\partial T}{\partial t} = \lambda \left(\frac{\partial^2 T}{\partial x^2} + \frac{\partial^2 T}{\partial y^2} \right) + \dot{q}$$

$$\rho c \frac{\partial T}{\partial t} = \lambda \left(\frac{\partial^2 T}{\partial x^2} + \frac{\partial^2 T}{\partial y^2} \right) + \dot{q}$$



Discrétiser
aussi le
temps



$$\frac{\lambda}{\Delta x^2} (T_{m+1,n} + T_{m-1,n} + T_{m,n+1} + T_{m,n-1} - 4T_{m,n}) + \dot{q}$$

$$\frac{\partial T}{\partial t} \approx \frac{T^{i+1} - T^i}{\Delta t}$$

D'où la nouvelle écriture de l'équation de la chaleur :

$$\rho c \frac{T_{m,n}^{i+1} - T_{m,n}^i}{\Delta t} = \frac{\lambda}{\Delta x^2} (T_{m+1,n} + T_{m-1,n} + T_{m,n+1} + T_{m,n-1} - 4T_{m,n}) + \dot{q}$$

Ou encore:

$$\frac{T_{m,n}^{i+1} - T_{m,n}^i}{\tau} = T_{m+1,n} + T_{m-1,n} + T_{m,n+1} + T_{m,n-1} - 4T_{m,n} + \frac{\dot{q}\Delta x^2}{\lambda}$$

$$\text{avec } \tau = \frac{a\Delta t}{\Delta x^2}, \text{ et } a = \frac{\lambda}{\rho c}$$

Question cependant : à quelle époque apprécier le second membre, en t_i ou en t_{i+1} ?

Algorithme explicite: choix du second membre exprimé à t_i

$$\frac{T_{m,n}^{i+1} - T_{m,n}^i}{\tau} = T_{m+1,n}^i + T_{m-1,n}^i + T_{m,n+1}^i + T_{m,n-1}^i - 4T_{m,n}^i + \frac{\dot{q}\Delta x^2}{\lambda}$$

Noter : T^{i+1} s'exprime alors explicitement en fonction de valeurs connues à t_i

Algorithme implicite: choix du second membre exprimé à t_{i+1}

$$\frac{T_{m,n}^{i+1} - T_{m,n}^i}{\tau} = T_{m+1,n}^{i+1} + T_{m-1,n}^{i+1} + T_{m,n+1}^{i+1} + T_{m,n-1}^{i+1} - 4T_{m,n}^{i+1} + \frac{\dot{q}\Delta x^2}{\lambda}$$

Noter : T^{i+1} ne s'exprime alors plus explicitement en fonction de valeurs connues à t_i . Cela peut nécessiter un calcul supplémentaire en cas de nœuds en frontière, en présence de rayonnement (équations algébriques implicites)

Quelques règles

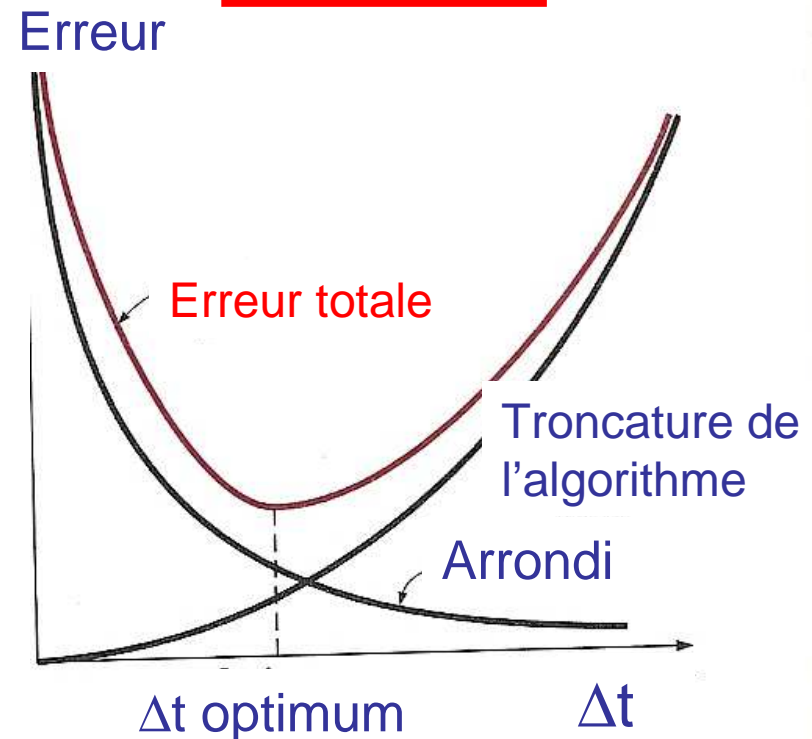
Algorithme explicite

Δt ne peut pas dépasser une certaine valeur critique au delà de laquelle l'algorithme devient instable. Δt contrôle également la précision

Algorithme implicite

En principe l'algorithme est toujours stable quelque soit Δt , mais le choix de Δt contrôle là encore la précision

Idées sur l'erreur



I – Problèmes 1D

Mur semi infini

Mur fini

Autres géométries

Modalités d'extension au 3D

Résistance interne négligeable

II – Problèmes périodiques

III – Extension des méthodes discrètes

IV – Méthode nodale

Solutions
analytiques

Méthodes
numériques

IV - Introduction aux bilans énergétiques par la méthode nodale

Il s'agit là d'une méthode qui s'avère bien adaptée à la modélisation des **systèmes** thermiques, impliquant des transferts thermiques conductifs, convectifs et radiatifs.

La vision adoptée est celle d'un **réseau** de conductances, capacités, sources, conduisant à :

- des équations différentielles ordinaires (régimes transitoires)

- ou à des équations algébriques (régimes stationnaires)

Nous en exposons maintenant le principe

Principe de la Méthode Nodale

①

Décomposer le système S en un nombre fini de volumes V_i
isothermes à $T_i \rightarrow$ **Maillage**

②

Mener sur chaque nœud i du maillage un bilan thermique

③

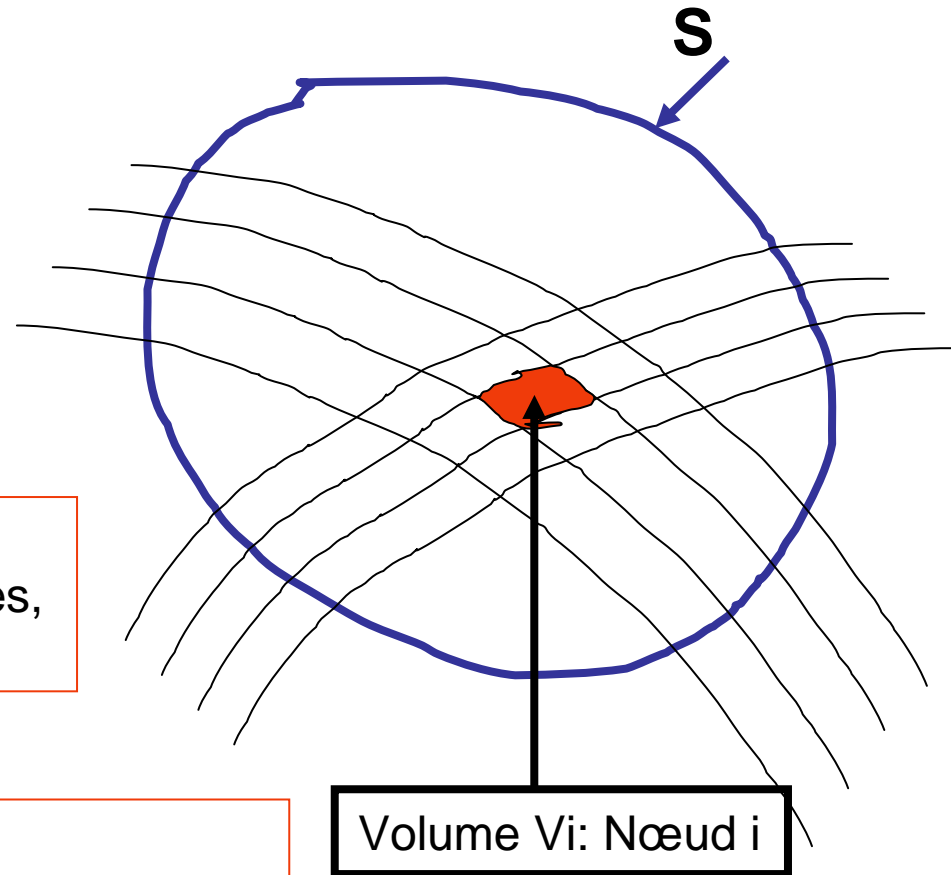
Mise en place d'un réseau analogue: capacités, conductances, sources de tension ou de courant

Un ensemble d'équations :

Algébriques \rightarrow régimes stationnaires

Différentielles \rightarrow régime transitoire

Résultats



Equation de bilan

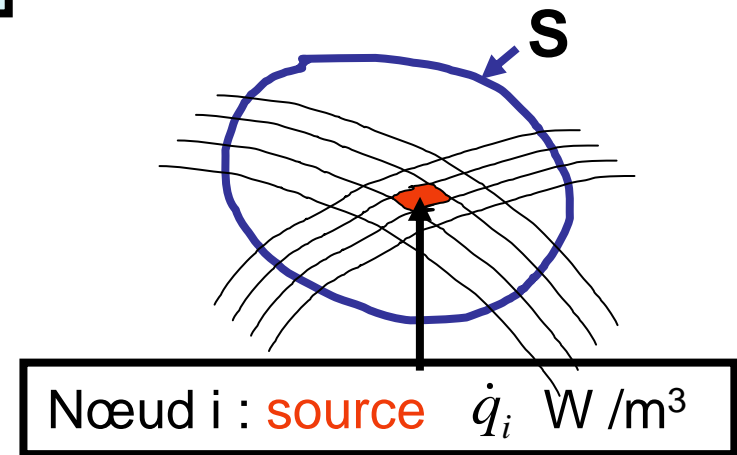
$$\rho c \frac{\partial T}{\partial t} + \text{div } \Phi = \dot{q}$$

Flux généré

Flux sortant

$$\rho c \frac{\partial T}{\partial t} = \text{div } \Phi + \dot{q}$$

Flux entrant



Intégrer sur V_i , avec T_i uniforme

$$\rho c \frac{\partial T}{\partial t} = \text{div } \Phi + q$$

entrant

$$\int_{V_i} \rho c \frac{\partial T_i}{\partial t} d\tau = \Phi_{\text{COND}} + \Phi_{\text{CONV}} + \Phi_{\text{RAY}} + Q_i$$

$C_i = \int_{V_i} \rho c d\tau$

$Q_i = \int_{V_i} q d\tau$

$$C_i \dot{T}_i = \sum \text{Flux entrant} + Q_i$$

Capacité

Conductances

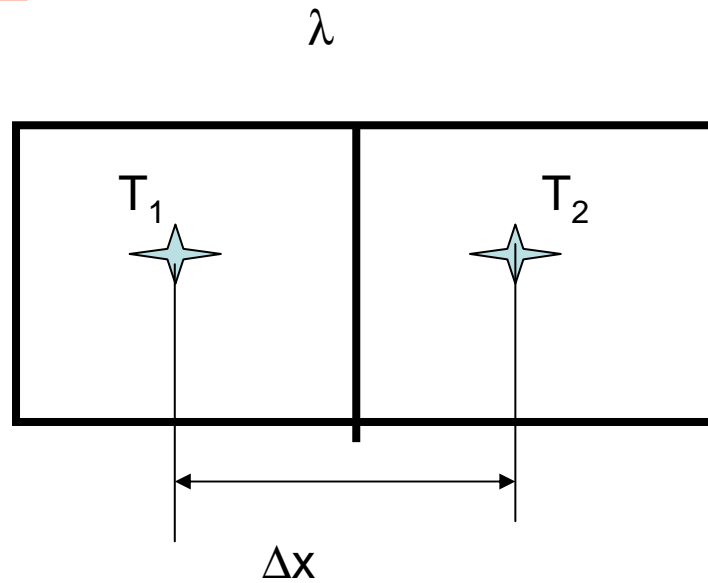
Sources

$$\Phi = \mathbf{G} \Delta T$$

CONDUCTION

Mur fini

S



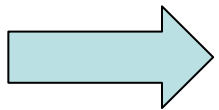
FOURIER:

$$\Phi = \lambda S \frac{T_2 - T_1}{\Delta x}$$

$$\Phi = \mathbf{G} \Delta T$$

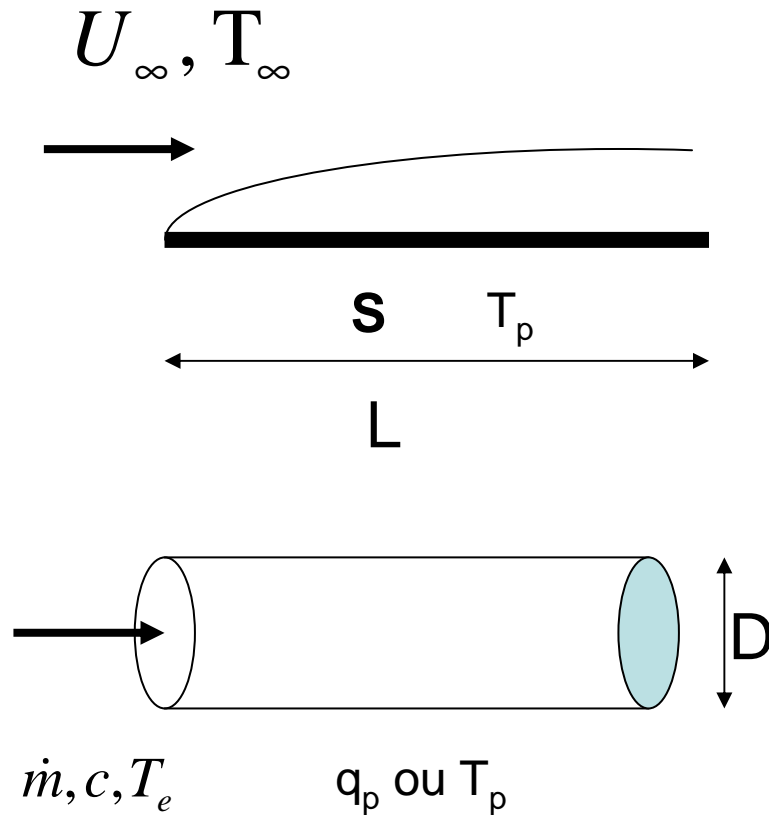


$$G = \frac{\lambda S}{\Delta x}$$



Autres conductances: cylindrique,
sphérique, ailettes...

CONVECTION



$$\Phi = hS (T_p - T_\infty)$$

$$G = h S$$

$$\Phi = G \Delta T$$

Corrélations:

$Nu = f(Re, Pr)$ convection forcée

$Nu = f(Gr, Pr)$, convection naturelle

Régime laminaire, turbulent

Zone d'entrée, zone établie



Notion importante:
température de
mélange T_m

Nusselt $Nu = hD/\lambda$

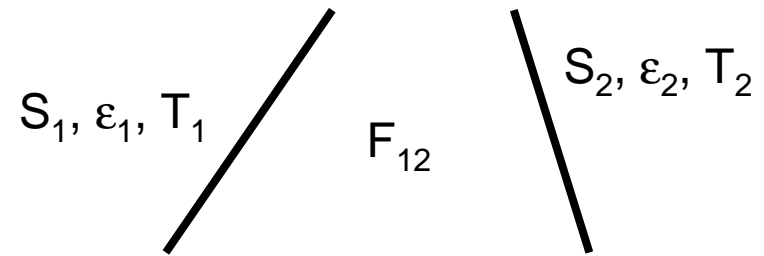
Grashof Gr

Reynolds $Re = VD/\nu$

Prandtl $Pr = \nu/\alpha$

RAYONNEMENT

$$\Phi = G \Delta T$$

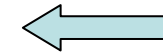


Transfert Direct:

$$\Phi = \epsilon_1 \epsilon_2 S_1 F_{12} \sigma (T_2^4 - T_1^4)$$



$$G = \epsilon_1 \epsilon_2 S_1 F_{12} \sigma (T_2^2 + T_1^2) (T_1 + T_2)$$



$$\Phi = G \Delta T$$

Multi réflexions:

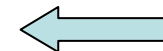
$$\Phi = \epsilon_1 S_1 B_{12} \sigma (T_2^4 - T_1^4)$$

$$B_{12} = \epsilon_2 F_{12} + \sum_k \rho_k F_{1k} B_{k2}$$

Gebhart



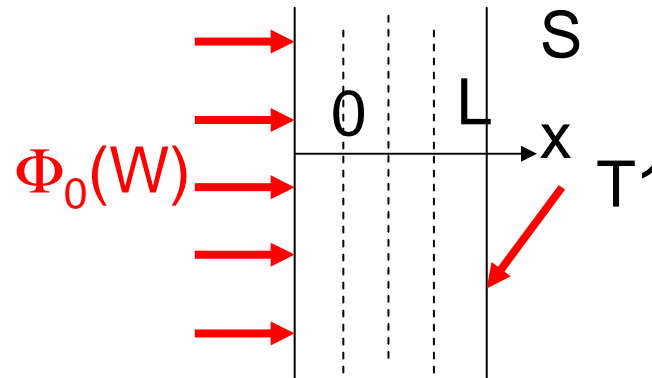
$$G = \epsilon_1 S_1 B_{12} \sigma (T_2^2 + T_1^2) (T_1 + T_2)$$



$$\Phi = G \Delta T$$

$$C = \rho c S (L/4)$$

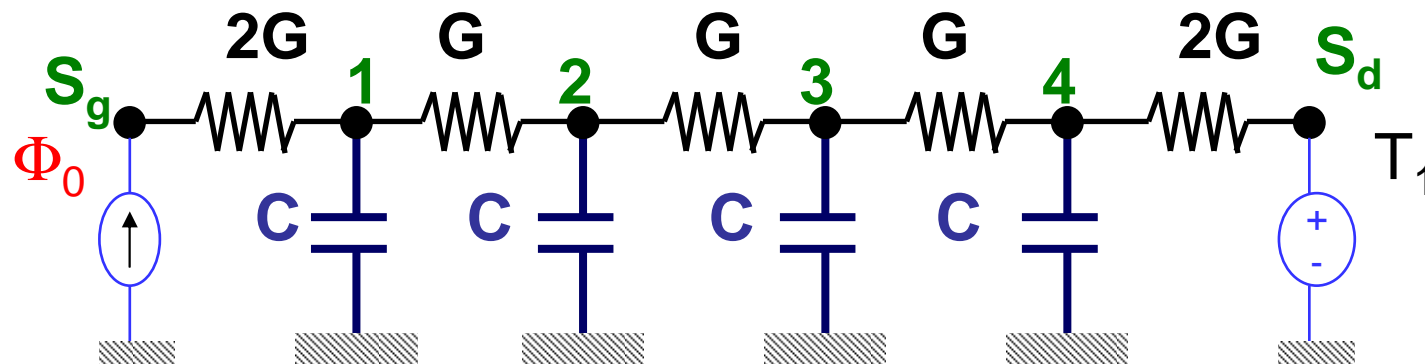
$$G = \lambda S / (L/4)$$



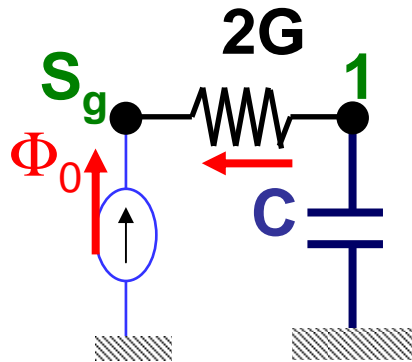
Traitement d'un exemple: mur fini

Implantons 4 noeuds

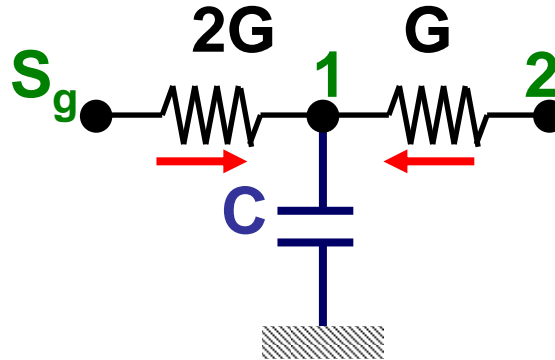
Le réseau



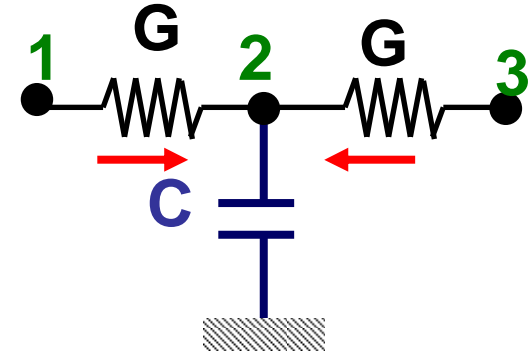
Les équations de bilan



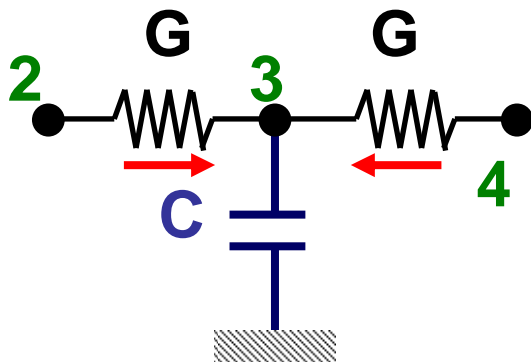
$$0 = 2G(T_1 - TS_g) + \Phi_0$$



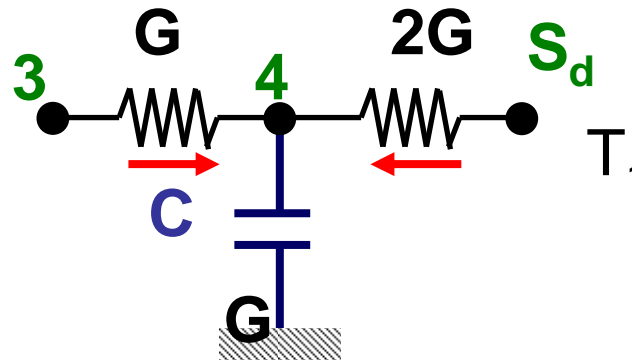
$$CT_1' = 2G(TS_g - T_1) + G(T_2 - T_1)$$



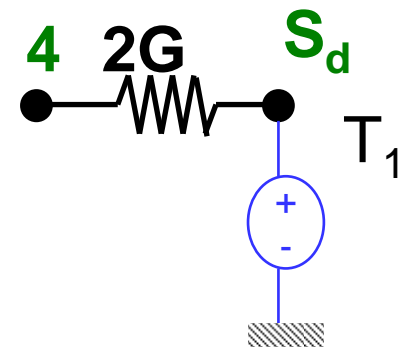
$$CT_2' = G(T_1 - T_2) + G(T_3 - T_2)$$



$$CT_3' = G(T_2 - T_3) + G(T_4 - T_3)$$



$$CT_4' = G(T_3 - T_4) + 2G(TS_d - T_4)$$



$$TS_d = T_1$$


Résumé: Allure des équations de bilan

En transitoire

différentielles

$$C_i \dot{T}_i = \sum_j G_{ij} (T_j - T_i) + Q_i$$

(+algébriques)



En stationnaire

algébriques

$$0 = \sum_j G_{ij} (T_j - T_i) + Q_i$$

Somme algébrique des flux **apportés** !